

**ЛЕНИНГРАДСКИЙ ОРДЕНА ЛЕНИНА
КОРАБЛЕСТРОИТЕЛЬНЫЙ ИНСТИТУТ**

Кафедра строительной механики корабля

**РАСЧЕТ НЕРАЗРЕЗНОЙ БАЛКИ НА ФВМ
С ПОМОЩЬЮ ТЕОРЕМЫ О ПЯТИ МОМЕНТАХ**

Методические указания



**Ленинград
1990**

Методические указания предназначены для обучения помысленных студентов в основах программы расчета неразрезной балки по методу пяти моментов.

В них приведены краткие сведения об основных зависимостях метода, программа расчета неразрезной балки по методу пяти моментов, пример расчета балки на ЭВМ.

Методические указания могут быть использованы студентами в качестве пособия при выполнении УИРС, курсовых и шиповых работ.

ВОЛЖСКИЙ
Городской Академический

РАСЧЕТ НЕРАЗРЕЗНОЙ БАЛКИ НА ЭВМ С ПОМОЩЬЮ ТЕОРЕМЫ О ПЯТИ МОМЕНТАХ

Методические указания



НадЛКИ,
1990

Ответственный редактор Р.А.Мосейков
Литературный редактор З.В.Зубкова

Зав. Р-114. Тир.250, Уч.-кап.л.1,6, 14.00.1990,
Бесплатно. Тип.ЛКИ, Ленинград, 10.

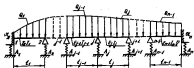
1. ВВОДНЫЕ ЗАДАНИЯ

Неразрезные балки, лежащие на неизменных опорах, являются примером статически неопределенных балочных систем. Они находят широкое применение в различных конструкциях корабля судна [3], поэтому к расчету неразрезных балок приходится неоднократно прибегать как на различных стадиях проектирования корабля, так и в процессе выполнения проверочных расчетов. Одним из наиболее распространенных методов расчета неразрезных балок является метод пяти моментов, все зависимости которого легко реализуются на ЭВМ. Ниже описывается программа, позволяющая автоматизировать расчет неразрезной балки по методу пяти моментов. Программа оформлена в виде подпрограммы, что позволяет использовать ее либо для отдельного расчета неразрезной балки, либо как составную часть более общей программы, выполняющей прочностные расчеты судовых конструкций.

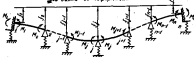
2. РАСЧЕТ НЕРАЗРЕЗНОЙ БАЛКИ МЕТОДОМ ПЯТИ МОМЕНТОВ

2.1. Основные зависимости метода пяти моментов

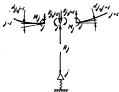
На рис.2.1 изображены крайней левый, два смежных средних и крайний правый пролеты неразрезной балки. На балку действует поперечная нагрузка. Балка опирается на опоры, причем промежуточные опоры являются узловыми, препятствующими прогибу балки, а крайние - опорами свободного конца, т.е. могут упруго преобразоваться как проходит, так и повернуть поперечное сечение балки на опоре. В дальнейшем будем считать, что момент инерции поперечного сечения балки остается неизменным в пределах отдельного пролета.



a

«а» - *Балка до деформации*

б



б

Рис.2.1. Многопролетная передвижная балка:
а - общий вид балки; б - деформированная
в промежуточных нагрузках; в - балка взаимодействия
с - узлы упорных опор с пролетами, рас-
положенными слева и справа от нее.

На рис.2.1 имеем следующие обозначения:

\bar{x}_j - число упорных опор балки, величина константа;
 $\bar{t}_{j,j+1}$ - длина пролета балки между опорами j и $j+1$;
 E_j - модуль Пика материала, из которого изготовлены
 j -й пролет балки;

$T_{j,j}$ - момент инерции поперечного сечения балки на
протяжении этого пролета;

$\alpha_{j,j+1}$ - приведенная нагрузка между опорами j и $j+1$;
 $\Omega_{j,j}$, $\Omega_{j,j+1}$ - коэффициенты податливости заделок балки на ее
левой конец и крайней правой опорах соответственно;

A_j - коэффициент податливости j -й упорной опоры;

M_j - изгибающий момент в сечении балки, расположенный
о ее j -й опорой;

f_j - проекция j -й опоры;

$\alpha_{j,j-1}$ - угол поворота поперечного сечения балки, совпадающего с j -й опорой, в пролете между опорами $j-1$ и j ;

$\alpha_{j,j+1}$ - угол поворота того же поперечного сечения балки в пролете между опорами j и $j+1$;

R_j - реакция взаимодействия j -й опоры с j -м уз-
лом балки;

$R_{j,j-1} + R_{j,j+1}$ - реакции взаимодействия j -го узла балки с пролетами, расположенным слева и справа от него
соответственно.

Как известно [2], для раскрытия статической неопределенности неизвестной балки можно методом пяти моментов сформулировать разредить балку \bar{x}_j всех ее опорах симметрии и ввести в рассмотрение две группы неизвестных: основную и дополнительную. В основной группе относят статически неизвестные моменты $M_{j,j}$, характеризующие взаимодействие симметрии пролета, а в дополнительной - просадки упорных опор f_j . Чтобы опре-
делять неизвестные, необходимо составить уравнения, которые
следуют из условий непрерывности углов поворота поперечных
сечений балки в опорах симметрии:

$$\alpha_{j,j-1} = \alpha_{j,j+1}, \quad j = 1, 2, \dots, n. \quad (2.1)$$

Углы поворота поперечных сечений $\alpha_{j,j-1}$ и $\alpha_{j,j+1}$
относятся к изоморфии.

$$\left. \begin{aligned} \alpha_{j,j-1} = & \frac{1}{6E_j L_{j-1}} M_{j-1} + \frac{1}{3E_j L_{j-1}} M_j + \alpha_{j,j-1}(Q_{j-1}) + \frac{(j-1)l_{j-1}}{L_{j-1}} \\ \alpha_{j,j+1} = & -\frac{l_j}{3E_j L_j} M_j - \frac{l_j}{6E_j L_j} M_{j+1} + \alpha_{j,j+1}(Q_j) + \frac{l_j l_{j+1}}{L_j}, \end{aligned} \right\} \quad (2.2)$$

где $\alpha_{j,j-1}(Q_{j-1})$ — угол поворота поперечного сечения балки на опоре с номером j от нагрузки Q_{j-1} , действующей на пролет, расположенный слева от опоры; $\alpha_{j,j+1}(Q_j)$ — угол поворота поперечного сечения балки на опоре с номером j от нагрузки Q_j , действующей на пролет, расположенный справа от опоры.

При составлении уравнений (2.1) для первой ($j=1$) и последней ($j=n$) узловых опор балки их считают несущими звеньями:

$$\left. \begin{aligned} \alpha_1^1 = & \alpha_{1,2} \quad j=1; \\ \alpha_{n,n-1}^1 = & \alpha_n \quad j=n. \end{aligned} \right\} \quad (2.3)$$

В уравнениях (2.3) $\alpha_{1,2}^1$ и α_n^1 представляют собой углы поворота, возникающие в левой и правой узловых заделках соответственно под воздействием моментов M_1 и M_n (см. рис. 2.11).

$$\alpha_1^1 = M_1 / E_J I_1; \quad \alpha_n^1 = -M_n / E_J I_n. \quad (2.4)$$

Коэффициенты податливости узловых заделок $O_{1,2}$ и $O_{n,n-1}$ могут изменяться в пределах от 0 до ∞ . Случай, когда коэффициент податливости узловой заделки равен 00, соответствует свободному открытию этого сечения балки, что приводит к необходимости исключения из системы уравнений (2.1) либо первого уравнения ($O_{1,2} = 00$), либо последнего ($O_{n,n-1} = 00$), либо обеих одновременно ($O_{1,2} = O_{n,n-1} = 00$). Кроме того, во всех составленных уравнениях следут подставлять $M_1 = 0$ либо $M_n = 0$, либо $M_1 = M_n = 0$.

Согласно (2.2) в систему уравнений (2.1) входит еще одна

коэффициент M_{j-1} , так и дополнительные f_j ненеизвестные. Для исключения дополнительных неизвестных f_j из системы (2.1) следует составить уравнение ряда

$$f_j = A_j R_j, \quad j=1, 2, \dots, n, \quad (2.5)$$

из которого связи между проходящей j -й опорой R_j и j -рольцом R_{j-1} , действующий на нее со стороны балки в разрезе

$$\left. \begin{aligned} R_j = & R_{j,j-1} + R_{j,j+1}; \\ R_{j,j-1} = & \frac{M_j - M_{j-1}}{L_{j-1}} + R_{j,j+1}(Q_{j-1}); \\ R_{j,j+1} = & \frac{M_j - M_{j+1}}{L_j} + R_{j,j-1}(Q_j). \end{aligned} \right\} \quad (2.6)$$

где $R_{j,j-1}(Q_{j-1})$ — реакция на опоре с номером j от нагрузки Q_{j-1} , действующей на пролет, расположенный слева от опоры; $R_{j,j+1}(Q_j)$ — реакция на опоре с номером j от нагрузки Q_j , действующей на пролет, расположенный справа от опоры.

Коэффициент податливости j -й узловой опоры A_j может изменяться от 0 до ∞ . Случай $A_j = 0$ соответствует жесткой опоре, а случай $A_j = \infty$ — отсутствию ее в рассматриваемой программе по гидроавтоматам.

После исключения из системы уравнений (2.1) проходов с номерами (2.5) и (2.6) получим следующую систему уравнений:

$$\left[\begin{array}{ccccccccc} c_{11} & c_{12} & c_{13} & 0 & 0 & 0 & \dots & 0 \\ c_{21} & c_{22} & c_{23} & 0 & 0 & 0 & \dots & 0 \\ c_{31} & c_{32} & c_{33} & c_{34} & 0 & \dots & 0 \\ 0 & c_{41} & c_{42} & c_{43} & c_{44} & 0 & \dots & 0 \\ 0 & 0 & 0 & 0 & 0 & 0 & \dots & c_{nn} \end{array} \right] \left[\begin{array}{c} M_1 \\ M_2 \\ M_3 \\ M_4 \\ \vdots \\ M_n \end{array} \right] = \left[\begin{array}{c} d_1 \\ d_2 \\ d_3 \\ d_4 \\ \vdots \\ d_n \end{array} \right] \quad (2.7)$$

Матрица коэффициентов (6) симметрична и обладает блок-диагональной структурой с верхней линией, разрывчатой. Коэффициенты c_{jk} и d_j выражаются по формулам

$$\left. \begin{aligned} c_{j,j-1} = & 2(\beta_{j-1} * \beta_j) + (A_{j-1} \beta_{j-1}^2 + A_j (\beta_{j-1} + \beta_j)^2 + A_{j+1} \beta_j^2); \\ c_{j,j+1} = & \beta_j^2 [A_j (\beta_{j-1} + \beta_j) + A_{j+1} (\beta_j + \beta_{j+1})]; \end{aligned} \right]$$

$$\begin{aligned} c_{j,j+2} &= k_{j+1} \theta_j \theta_{j+1}, \\ d_j &= T_j + k_{j+1} \theta_{j+1} \theta_j - k_j (\theta_{j+1} \theta_j) R_j + k_{j+1} \theta_j R_{j+1}, \\ j &= 2, 3, \dots, n-1, \end{aligned} \quad \left. \right\} \quad (2.8)$$

$$\begin{aligned} \text{форма} \quad \theta_j &= \frac{b_j}{SE_j T_j}, \quad j = 1, 2, \dots, n-1; \\ S_j &= \frac{1}{b_j}, \quad j = 1, 2, \dots, n-1; \\ T_j &= \alpha_{1,j}(Q_1); \quad T_n = -\alpha_{n,n-1}(Q_{n-1}); \\ T_j &= \alpha_{j,j+1}(Q_j) - \alpha_{j+1,j}(Q_{j+1}), \quad j = 2, 3, \dots, n-1; \\ R_1 &= R_{1,1}(Q_1); \quad R_n = R_{n,n-1}(Q_{n-1}); \\ R_j &= R_{j,j+1}(Q_{j+1}) + R_{j+1,j}(Q_j), \quad j = 2, 3, \dots, n-1. \end{aligned} \quad \left. \right\} \quad (2.9)$$

Формулы (2.8) справедливы для $j=2, 3, \dots, n-1$, т.е. для узловых, соответствующих промежуточным опорам. Но можно распространить и на $j=1$ и $j=n$, т.е. на узлы, соответствующие крайней левой и крайней правой опорам, если положить

$$\begin{aligned} R_0 &= 0; \quad R_n = 0; \\ S_0 &= 0; \quad S_n = 0; \\ R_0 &= 0; \quad R_{n+1} = 0; \\ A_0 &= 0; \quad A_{n+1} = 0. \end{aligned} \quad \left. \right\} \quad (2.10)$$

Следует также, что

$$c_{n-n+1} = c_{n,n+1} = c_{n,n+2} = 0. \quad (2.11)$$

После решения системы уравнений (2.7) и определения опорных моментов M_j следует, воспользовавшись формулами (2.2), (2.6) и (2.8), вычислить прогибы и углы поворота в спиральных сечениях, получить для всех профилей эпюры изгибающих сил слева (1-й) и справа (n-й) от опор. Далее, рассмотрим задачу по проекции по отдельности, можно определить интересующие нас элементы края балки в любом ее сечении.

2.2. Порядок выполнения расчета

Расчет изгибаемой балки методом шага элементов выполняют в порядке следующих операций.

1. Определение опор, в сечениях которых необходимо разрезать балку и занести известные опорные моменты. К числу таких опор относятся все промежуточные опоры и те концевые опоры, которые препятствуют повороту поперечного сечения балки.

2. Вычисление величин θ_j , B_j , T_j и R_j , необходимых для формирования системы уравнений (2.7) и определения элементов края балки в спиральных сечениях согласно формулам (2.2), (2.6) и (2.8). При расчете балки по 384м удаляются величины θ_j , B_j , T_j и R_j , равнозначные в классах соответствующей разрывности. Для вычисления T_j и R_j требуется определить элементы края неизвестного участка балки в концевых сечениях, считая их свободно отвергнутыми на концах спиралей. При этом следует воспользоваться методом начальных параметров и все необходимые операции производить в двух отдельных подпрограммах. В первой из подпрограмм считываются условия нагружения балки: начальные параметры, а во второй – передаются элементы края, приведенные во вспомогательные начальные параметры.

3. Формирование системы уравнений (2.7) и решение ее с помощью отладочной программы, учитывающей ленточную структуру матрицы [6].

4. Определение по формулам (2.2), (2.6) и (2.8) продольных упругих опор f_j , углов поворота поперечного сечения θ_j , опорных моментов M_j , реакций слева $R_{j,j-1}$ и справа $R_{j,j+1}$ от j -й спирали.

5. Вычисление элементов края балки в интересующих различных сечениях. При этом целесообразно использовать уже

известных элементов $f_{j,j}$, $m_{j,j}$, M_j , $R_{j,j+1}$ и $R_{j,j+1}$ к подпрограмму определения элементов матрицы единичной базы.

Однако выше схема соответствует однократному расчету перекрещенной базы. На практике очень часто требуется выполнять серию расчетов одной и той же базы при различных вариантах нагрузки, действующей на нее. В этом случае выполнение векторов R_j и B_j , и формирование матрицы $[C]$ производят только раз для первого расчета серии. Кроме того, если для решения системы уравнений использовать метод Гаусса, то определение неизвестных моментов M_j циклическим образом разбить на две части: решение матрицы $[C]$ в виде последовательности двух трехугольных матриц и решение приведенных систем. Тогда реализация матрицы $[C]$ необходимо вычислить один раз для первого расчета.

3. ПРОГРАММА РАСЧЕТА НЕРАЗРЕЗНОЙ БАЗЫ ПО МЕТОДУ ПЯТИ МОМЕНТОВ

Основная новая программа расчета перекрещенной базы методом пяти моментов и используемая ее в процессе работы математические программы хранятся в разделе **SMADENCB** базового пакета данных KF-3M в виде объектного модуля. При формировании задачи, в которой на шаге выполнения имеется программа, обращенная к программе расчета перекрещенной базы, необходимо включить раздел **SMADENCB** в тот или иной входной набор данных редактора символов (см. гл. 4.2).

3.1. Назначение программы

Программа расчета перекрещенной базы методом пяти моментов предназначена для определения присоединенных узловых секторов $[f_j]$, узлов поворота поперечных сечений базы в месте расположения сектора $[f_j]$, матрицах элементов в секторах сечениях M_j и решения неизвестностей с j -й сектора $R_{j,j+1}$ и $R_{j,j+1}$ присоединенных секторов и отрезка от них. Кроме того, программа позволяет при необходимости получать все элементы из-

ней базы в любом ее месте в заранее заданных сечениях.

3.2. Основной обрамление к программе.

Использование подпрограмм

Программа расчета перекрещенной базы написана на языке **FORTRAN** как подпрограмма **SUBROUTINE [1]**, имя которой **CNCB**. Первый оператор программы имеет вид:

```
SUBROUTINE CNCB(IEC,QBU,CNUC,DSQD,DSPR,
                 DLOAD,LOAD,DMORD,COORD,
                 EBSS,EBSP,WCN,LPSL)
```

Формальные параметры **IEC**, **QBU**, **CNUC**, **DSQD**, **DSPR**, **DLOAD**, **LOAD**, **DMORD**, **COORD** служат для передачи входных данных, а **EBSS** и **EBSP** - для передачи выходных данных. С помощью формальных параметров **WCN**, **LPSL** в программу передаются рабочие области.

Обращение к программе **CNCB** из внешней программы производится с помощью оператора **CALL**:

```
CALL CNCB (B1,B2,...,B13),
```

где B_1, B_2, \dots, B_{13} - формальные параметры, создаваемые в члене, типе и порядке определения с формальными параметрами в операторе **SUBROUTINE**.

Подпрограмма **CNCB** включает два внутренние подпрограммы: **DSPR**, определяющую начальные параметры сектора, сектора базы, а **DEB**, генерирующую элементы матрицы единичной базы при известных начальных параметрах.

3.3. Отведение входных данных

IEC - переменная типа **INTEGER*4**, в значение которой задаются режим выполнения расчета. **IEC = 1** соответствует однократному расчету перекрещенной базы, а **IEC = 2** используется при проведении серии расчетов для одной и той же базы при различных вариантах нагрузления. В первом случае при обращении к программе **CNCB** необходимо оформлять все структуры ниже входные данные; во втором - все входные данные

столбом без изменения, как и при предыдущем обращении в программу, за исключением массивов DMLOAD, LOAD, BMCRD и CBOARD , которые заполняются заново согласно изменяющимся условиям нагружения балки. Между двумя обращениями, в которых идет расчет, нельзя изменять не только содержимое всех оставшихся массивов, пред назначенных для хранения входных данных, но и рабочие области.

Q3U - переменная типа INTEGER=4 , представляющая собой число единиц избранных балок, которых кончина,

CSUCL - одномерный массив размерности 2 , тип массива REAL=4 . Элементами массива являются условия коэффициенты отпорной зоны упругих зонков левого и правого концов избирательной балки:

$$\left. \begin{aligned} M_{\text{л}} &= \frac{1}{1 + \frac{2E_{\text{л}}I_{\text{л}}}{l_{\text{л}}} \alpha_{\text{л}}} \\ M_{\text{р}} &= \frac{1}{1 + \frac{2E_{\text{р}}I_{\text{р}}}{l_{\text{р}}} \alpha_{\text{р}}} \end{aligned} \right\} \quad (3.2)$$

где $\alpha_{\text{л}}$ и $\alpha_{\text{р}}$ - коэффициенты податливости упругих зонков левого и правого концов избирательной балки; $E_{\text{л}}$ и $E_{\text{р}}$ - модули нормальной упругости материалов, из которых изготовлены крайний срезы и крайний отрезок пролета балки; $I_{\text{л}}$ и $I_{\text{р}}$ - моменты инерции поперечных сечений крайнего левого и крайнего правого пролетов; $l_{\text{л}}$ и $l_{\text{р}}$ - длины крайних пролетов.

Значения величин $M_{\text{л}}$ и $M_{\text{р}}$ могут изменяться в пределах от 0 (свободное опирание) до 1 (жесткое заделка).

DSSP - одномерный массив размерности Q3U , тип массива REAL=4 , элементами массива являются коэффициенты податливости А узких зон, начиная с левой и кончая правой спорой. Значения величин А могут меняться в пределах от 0 до со , что соответствует либо жесткой (А = 0) , либо фиксированной (А = со) споре; последний случай дан в программе не предусмотрен.

DSSP - двухмерный массив размерности (Q3U-1)*3 , тип массива REAL=4 . Элементы массива DSSP(1,1), DSSP(1,2)

и DSSP(1,3) содержат значения модуля Юнга материала, момента инерции поперечного сечения и длины З чго пролета балки.

DMLOAD - двухмерный массив размерности (Q3U-1)*3 , тип массива INTEGER=4 ; массив служит для отбора пролетных нагрузок, приложенных к балке.

LOAD - одномерный массив типа REAL=4 , размерность которого равна:

$$\left. \begin{aligned} \text{Q3U-1} \\ \sum_{j=1}^{Q3U-1} (4 * \text{DMLLOAD}(j,1) + 2 * \text{DMLLOAD}(j,2) + 2 * \text{DMLLOAD}(j,3)) \end{aligned} \right\} \quad (3.3)$$

Массив LOAD так же, как и массив DMLLOAD , служит для задания пролетных нагрузок.

При использовании программы предполагается, что нагрузки, действующие на каждую из пролетов балки, могут быть представлены в виде совокупности трех типов нагрузок (рис.3.1): распределенные нагрузки, комбинированные по линейному закону

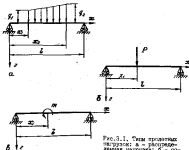


Рис.3.1. Типы пролетных нагрузок: а - распределенные нагрузки; б - скоординированная сила; в - сконцентрированный момент

правильной на участке длины балки от сечения $x = x_1$, до сечения $x = x_2$, определяемой силы, приложенной в сечении $x = x_1$, в координатного момента в сечении $x = x_2$.

Нагрузка, действующая на балку, задается с помощью массива **DMLDAD** и **LOAD** следующим для каждого пролета. Первый элемент массива **DMLDAD** указывает номер пролета, а второй соответствует типу нагрузки согласно рис.3.1. Элементы массива **DMLDAD** (J, K) представляют собой количество нагрузок K -го типа, приложенных к J -му пролету балки. Массив **LOAD** содержит значения величин, характеризующих приложенные нагрузки. Для нагрузок первого типа (см.рис.3.1.а) такие величины являются:

$$\Phi_1, \Phi_2, \Phi_3 + \Phi_4 \quad (3.4)$$

для нагрузок второго типа (см.рис.3.1.б)

$$\alpha_1, R_1 \quad (3.5)$$

для нагрузок третьего типа (см.рис.3.1.в)

$$\alpha_1, m_1 \quad (3.6)$$

$$\alpha_1, m_1 \quad (3.6)$$

В массиве **LOAD** последовательно для каждого пролета входят величины (3.4), которые повторяются столько раз, сколько нагрузок первого типа приложено к рассматриваемому пролету; величины (3.5), характеризующие все нагрузки второго типа, действующие на пролет; величины (3.6) для нагрузок третьего типа, повторяющиеся требуемое число раз.

Если нагрузки некоторого типа для того или иного пролета отсутствуют, то при заполнении массива **LOAD** никакой информации о них задавать не надо, соответствующие элементы массива **DMLDAD** должны быть равны нулю.

DMCRD - одномерный массив размерности $GSU+1$, т.е. массив **INTLGUB** в 4. Элементы массива содержат последовательно для всех $GSU+1$ пролетов балки числа, равные координатам сечений, в которых необходимо определить элементы нагиба балки для данного пролета.

CORRD - одномерный массив типа **REAL** в 4, размерность которого равна:

$$\sum_{i=1}^{GSU+1} DMCRD(i). \quad (3.7)$$

Массив **CORRD** содержит значение координат x сечения, в которых программа определяет элементы края балки. В первом **DMCRD**(1) элементе массива указывается координата сечения, расположенного в первом пролете, в следующем **DMCRD**(2) - элементе - координата сечения, расположенного во втором пролете и т.д. Координата x отсчитывается от левой опоры того пролета, в котором расположено задаваемое сечение.

3.4. Описание выходных данных

EBSU - двумерный массив размерности $(GSU+5) \times 4$, т.е. массив **REAL** в 4 . При выходе из подпрограммы в элементы массива **EBSU** помещаются следующие величины:

EBSU(1,J) - пролета J -й узкой спирали f_3 ;

EBSU(1,2) - угол поворота поперечного сечения α_3 в месте расположения J -й спирали;

EBSU(1,3) - второй момент M_2 на J -й спире;

EBSU(1,4) - реакция взаимодействия J -й спирали с пролетом, расположенным спереди от нее;

EBSU(2,J) - реакция взаимодействия J -й спирали с пролетом, расположенным спереди от нее;

EBSU - двумерный массив, т.е. массив **REAL** в 4 . Первая размерность массива равна размерности массива **DMCRD** , вторая - четырем. После возврата в вызывающую программу элементами массива являются:

EBSU(3,J) - прогиб;

EBSU(4,J) - угол поворота поперечного сечения;

EBSU(5,J) - когебающий момент;

EBSU(6,J) - переклоняющая сила;

вычисляемые в сечениях с координатой x , помещенной в J -й элемент массива **DMCRD**. Номер пролета, от левой опоры которого отсчитываются координаты x , помещенные в **DMCRD**(J), указывается с помощью массива **DMCRD** (см. п.3.3).

При подавлении программы **CNSC** следует иметь в виду, что если в некоторых сечениях переклоняющая сила или когебающий момент по условиям нагружения балки берутся разные, то при задании в массиве **CORRD** координаты этого сечения программа вычисляет значение соответствующего элемента нагиба спирали от

нного. Определять элементные матрицы края балки слева от опоры можно либо самостоятельно, используя известные подходы из классической теории края балки, либо с помощью программы СИСВ . Ниже это сделано несколько левее рассмотренного. При этом достаточно уменьшить координату места линии в позиции разреза мастика.

При решении практических задач, связанных с расчетом неразрезанной балки, в некоторых случаях нет необходимости в определении элементов края в заданных сечениях. Тогда можно DMCRD , драйвер содежит путь. В вышеприведенной программе не нужно разрезывать место для массивов СБРД и СБР7 , однако в обратном к программе расчета неразрезанной балки должны находиться идентификаторы фактических массивов.

3.5. Отсеки рабочих областей

В процессе работы программы СИСВ используются рабочие массивы, которые передаются из исходной программы с помощью формальных параметров МСН и LPSE :

МСН - двухмерный массив типа REAL=4 , размерность массива (150+1)×2 . Массив используется для хранения величин R_1 и R_2 .

LPSE - двухмерный массив типа REAL=4 . Первые размерности массива равны числу неизвестных спиральных моментов M_{ij} , т.е. числу промежуточных шир или число конечных шир, приводимых к концу вторичного сечения балки. Вторые размерности массива равны трем. В местах размещаются элементы С_{ijk} матрицы (С) ; для которых $i \neq j$.

4. ПРИМЕР РАСЧЕТА

Рассмотрим расчет неразрезанной балки, изображенной на рис.4.1.а. Балка имеет три пролета, два промежуточных и два концевых шир. Первое концевое широ представляют собой упругую палку, а промежуточные широ - свободное широ, поэтому число неизвестных шир может быть равно трем. Исходные данные задачи приведены в табл.4.1 в двух векторах \mathbf{t}_0 , \mathbf{t}_0 , \mathbf{t}_0 . Форма промежуточных шир показана на рис.4.1.б.

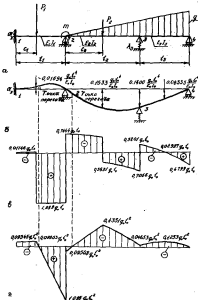


Рис.4.1. Пример расчета неразрезанной балки для задачи 4.1а балки: а - упругого балки балки; б - форма промежуточных шир; в - форма концевых широк.

Одно, момента инерции и распределенной нагрузки соответственно.

Таблица 4.1

Исходные данные для расчета перекинной балки

$\frac{L_1}{L_2}$	$\frac{L_2}{L_3}$	$\frac{L_3}{L_4}$	$\frac{s_1}{l_1}$	$\frac{s_2}{l_2}$	$\frac{E_1}{E_2}$	$\frac{E_2}{E_3}$	$\frac{E_3}{E_4}$	$\frac{l_1}{l_2}$	$\frac{l_2}{l_3}$	$\frac{l_3}{l_4}$
1	1.5	1	0.4	0.6	1	1	1	1	1	1
$\frac{q}{q_0}$	$\frac{P_1}{P_0}$	$\frac{P_2}{P_0}$	$\frac{m}{m_0}$	$\frac{R_1 R_2}{R_0 R_3}$	$\frac{A_1 A_2}{A_0 A_3}$	$\frac{l_1 l_2}{l_0 l_3}$				
$\frac{q_0}{q}$	$\frac{P_0}{P_1}$	$\frac{P_0}{P_2}$	$\frac{m_0}{m}$	$\frac{R_0 R_3}{R_1 R_2}$	$\frac{A_0 A_3}{A_1 A_2}$	$\frac{l_0 l_3}{l_1 l_2}$				
1	2	1	-1	0.25	0.1365					

Для того чтобы произвести расчет балки с помощью программы СМСБ, требуется написать такую же программу, которую можно оформить как основную программу. В ней должны быть описаны переменные и константы, имеющиеся в функциональных параметрах, отредактировать значение согласно исходным данным, построить обрамление и программу СМСБ и напечатаны на печать массивы ESSU и ESSP, содержащие выходную информацию.

4.1. Фактические параметры заданы.

Формированием массивов данных:

Для удобства изложения имена фактических параметров, которые указываются в операторе CALL подпрограммой программы, приведены совпадающим с именами формальных параметров в операторе SUBROUTINE программы СМСБ(см.3.2).

Переменные TEC и QSU описиваются как переменные третьего типа данных четыре байта.

INTEGER=4 TEC, QSU

Расчет балки выполняется для одного варианта загружения, поэтому переменной TEC следует присвоить значение единичное, также единице. Значение переменной QSU равно числу спор балки, т.е. четырем.

Размерность одномерного массива CSUCL равна двум, он описывается следующим образом:

REAL=4 CSUCL(2)

Коэффициент податливости упругой заделки для левой опоры равен $K_d = 0.25k_2/E_2 l_2$, для правой - $K_d = \infty$. Соответствующие им значения коэффициентов спорной пары $m_{d1} = m_{d2}$, вычисляемые по формуле (3.2), равны

$$m_d = 0.666; m_{d2} = 0.$$

Значение коэффициента спорной пары левой опоры m_d , т.е. 0.666, заносится в первый элемент массива DSSU1, а правой опоры m_{d2} , т.е. 0, - во второй.

Элементами одномерного массива DSSU являются коэффициенты податливости упругих спор. Размерность массива равна числу спор балки, т.е. четырем, и это можно отразить в языке оператора.

REAL=4 DSSU(4)

Первый, второй и четвертый споры балки предстаивают собой жесткое споры, поэтому элементы DSSU(1), DSSU(2) и DSSU(4) равны нулю. Элемент массива DSSU(3) равен коэффициенту податливости третьей споры, т.е. 0.1365, выраженному в долях единицы $l_3^2/E_3 l_3$ (табл.4.2).

Таблица 4.2

Массив DSSU

Номер массива (номер упругой споры)	Коэффициент податливости упругой споры, $l_i^2/E_i l_i$
1	0.
2	0.
3	0.1365
4	0.

Первый размежевать двумерного массива DSSP число троек, т.е. трех, в втором - число величин, характеризующих каждую из троек спор балки, также три. Поэтому споры массива DSSP содержит три

REAL=4 DSSP(3,3)

Для первого спора значение первого индекса массива DSSP равно единице и его характеристики помечаются в элементы массива DSSP(1,1), DSSP(1,2) и DSSP(1,3).

Элемент массивов $BSSP(1,1)$ равен значению и один шага математика пролета, т.е. 1.0 ; $BSSP(1,2)$ - значение элемента из массива второго шага математики пролета, т.е. 1.0 ; $BSSP(1,3)$ - его длина, т.е. 1.0 . Элементы характеристики второго пролета присваиваются элементам $BSSP(2,1)$, $BSSP(2,2)$ и $BSSP(2,3)$, а третьяго - элементам $BSSP(3,1)$, $BSSP(3,2)$ и $BSSP(3,3)$ (табл.4.3).

Таблица 4.3
Массив $BSSP$

Первый адресок массива (номер пролета)	Номер шага математики b_0	Второй адресок массива		Длина l_0
		1	2	
1	1.	1.	1.	
2	1.	1.	1.5	
3	1.	1.	1.	

Все необходимые для задания количества $BMLLOAD$ и $LOAD$ делятся с шагами, предложенными в таблицу из пролета балки, сведены в табл.4.4. Первый промеж балки нагрузки - сосредоточен-

Таблица 4.4

Характеристика нагрузки, действующих на балку

Номер пролета	Номер нагрузки	Значение величин, характеризующих нагрузку
1	2	$x_1 = 0.4 l_0$; $p = 2q_1 l_0$
	3	$x_1 = l_0$; $m = -q_1 l_0^2$
2	1	$x_1 = 0$; $q_1 = 0$; $x_2 = 1.5 l_0$; $q_2 = 0.6 q_1$
	2	$x_1 = 0.75 l_0$; $p = q_2 l_0$
3	1	$x_1 = 0$; $q_1 = 0.6 q_2$; $x_2 = l_0$; $q_2 = q_1$

ческое со знаком (нагрузка второго типа) к сосредоточенным моментом (нагрузка третьего типа). Но второму пролету приложены распределенные нагрузки (нагрузка первого типа) к сосредоточенным силам, но третий пролет действует только распределенными нагрузками. В предложенном выражении заданы нагрузки сосредоточенных моментов, действующий в сечениях второй опоры, отнесен к первому пролету. Однако это можно отнести и ко второму пролету - оба выражают равнодействие.

Информация о количестве нагрузок каждого типа, предложенная в промеж балки, записывается в двумерный массив $BMLLOAD$.

Первая разностьности массива равна значению пролета балки, т.е. трех, а вторая разностьность - количеству типов нагрузки. Поэтому массива массы $BMLLOAD$ следует так

INTEGER -4 BMLLOAD (3,3)

Заданному массиву $BMLLOAD(1,1)$ присваивается значение, равное количеству нагрузки первого типа, присвоенного к первому пролету, т.е. 0; элементу $BMLLOAD(1,2)$ - равное количеству нагрузки второго типа, т.е. 1, и элементу $BMLLOAD(1,3)$ - равное количеству нагрузки третьего типа, т.е. 1, присвоенные к тому же пролету. Для второго пролета число нагрузок первого типа, равное 1, заносится в элемент $BMLLOAD(2,1)$, второго типа - в элемент $BMLLOAD(2,2)$, третьего - в элемент $BMLLOAD(2,3)$ и т.д. (табл.4.5).

Таблица 4.5

Массив $BMLLOAD$

Первый адресок массива (номер пролета)	Число нагрузки		
	первого типа	второго типа	третьего типа
	Второй адресок		
1	0	1	1
2	1	1	0
3	1	0	0

Значения векторов, характеризующих каждую из нагрузок, записываются в одномерный массив **LOAD**. Запись его, последовательностью по строкам, просматриваем элементы массива **DMLLOAD**. Элемент массива **DMLLOAD(1,1)** разделяется - первая строка свободна от действия нагрузки первого типа и в массиве **LOAD** этого значение не надо. Значение элемента массива **DMLLOAD(1,2)** равно 1 (см.табл.4.4), а массив **LOAD** следует пополнить параметром нагрузки второго типа, действующей на первый пролет. В элементе массива **LOAD(1)** записаны значения координат сечения, в котором приложена сосредоточенная сила, т.е. 0,4, а в элементе массива **LOAD(2)** - величина силы, т.е. 2,0. Если бы в проекте было приведено несколько нагрузок второго типа, то ее параметры первой нагрузки в массиве **LOAD** следовало бы пополнить параметры всех остальных. В рассмотренном примере же для действующего первого типа нагрузки длиного типа мы переходим к элементу массива **DMLLOAD(1,3)**. Он разбит 1 - на пролет действует одна нагрузка третьего типа, параметры ее из табл.4.4 записываются в элементы массива **LOAD(3)** и **LOAD(4)**. Аналогичным образом, просматривая содержимое элементов второй и третьей строк массива, полностью информацию о нагрузках второго проекта в элементах массива с **LOAD(5)** по **LOAD(10)**, а информацию о нагрузках третьего - в элементах с **LOAD(11)** по **LOAD(14)** (табл.4.5). Общее число параметров, задающих нагрузку, равно четырнадцати, поэтому массив **LOAD** в машинной программе должен быть описан так:

REAL*4 LOAD(14)

При задании массивов **DMCRD** и **CDRD** следует стремиться к тому, чтобы выражения программой СМСВ в выходном массиве **EBSP** информации были достаточной для построения некоторого переключающегося или конгидионного моментов, для будущего определения упругих линий балки. Для первого проекта можно ограничиться единичными элементами исхода в трех сечениях: сечении, совпадающим с левой скрепой пролета ($\alpha = 0$); сечением, в котором приложена сосредоточенная сила P_1 ($\alpha = 0.5$); сечением, совпадающим с правой скрепой пролета ($\alpha = 1.0$). Исходя из характера действующей на пролет нагрузки и учетом дифференциальных соотношений, связывающих между собой взаимосвязь распределенных нагрузок, переключающие си-

Таблица 4.6

Массив **LOAD**

Номер проекта	Тип нагрузки	Номер строки задаваемой нагрузки	Номер массива	Значение задаваемой величины
1	2	α_1, b_1	1	0.4
		$P_1, Q_{1,1}b_1$	2	2.0
	3	α_1, b_2	3	1.0
		$m_1, Q_{1,2}b_2$	4	-1.0
2	1	α_1, b_1	5	0.
		$Q_{1,1}, Q_{1,2}$	6	0.
		α_2, b_2	7	1.5
		$Q_{2,1}, Q_{2,2}$	8	0.6
3	2	α_1, b_2	9	0.75
		$P_2, Q_{2,1}b_2$	10	1.0
		α_2, b_3	11	0.
		$Q_{2,1}, Q_{2,2}$	12	0.6
4	1	α_2, b_2	13	1.0
		$Q_{2,2}$	14	1.0

зу и нагебандий момент, можно предположить, что переключающие сечения являются кусочно-постоянной функцией с разрывами в сечении $\alpha = \alpha_1$, а конгидионный момент на каждом из участков пролета (от 0 до α_1 , и от α_1 до α_2) представляется различными линейными функциями, имеющими одинаковые значения в сечении $\alpha = \alpha_1$.

Происходит аналогичное рассуждение для второго и третьего проектов, можно сделать вывод о том, что для второго проекта можно достаточно иметь элементы нагебандий в трех сечениях (например, $\alpha=0$, $\alpha=0.5$, $\alpha=\alpha_2$, $\alpha=\alpha_1+0.5$ ($\alpha_1-\alpha_2$), $\alpha=\alpha_2$), а для третьего проекта - в трех ($\alpha=0$, $\alpha=0.5$, $\alpha=\alpha_2$, $\alpha=\alpha_3$).

Размерность массива **DMCRD** равна числу пролетов - двум, т.е. 2. Массив структурируется оператором

INTEGER*4 DMCRD(2)

Первый элемент массива DMORD(1) равен числу заданных сечений в первом проекте, т.е. 3; второй DMORD(2) – числу сечений во втором проекте, т.е. 5; третий DMORD(3) – в третьем проекте, т.е. 3 (табл. 4.7).

Таблица 4.6

Таблица 4.7

Номер DMORD

Номер массива (номер проекта)	N
1	3
2	5
3	3

N – число сечений, в которых падают элементы конца балки.

Координаты сечений, расположенных в первом проекте, помещаются в элементы массива COORD(1), COORD(2), COORD(3). Значение массива COORD(1) равно 0, COORD(2) равно 0.0, и COORD(3)=1. Значения массива с COORD(4) по COORD(8) содержат элементы координат сечений, расположенных во втором проекте, а элементы с COORD(9) по COORD(11) – в третьем. Полностью содержимое массива COORD приведено в табл. 4.8, в которой координаты сечений занесены в строку b_0 . Общее число задаваемых сечений равно 11, поэтому описание массива COORD в написанной программе выглядит следующим образом:

REAL*4 COORD (11)

Совокупность всех описанных выше переменных и массивов, заполненных в соответствии с п.3.2, представляет собой исходную информацию о решаемой задаче.

Номер проекта	Номер сечения в проекте	Номер элемента	X, E ₀
1	1	1	0
	2	2	0.5
	3	3	1.0
2	1	4	0.0
	2	5	0.375
	3	6	0.75
	4	7	1.125
	5	8	1.5
3	1	9	0.0
	2	10	0.5
	3	11	1.0

X – координата сечения, отсчитываемая от левой опоры проекта.

Входная информация помещается программой СНЕБ в массивы EB8U и EB8P. Для них в написанной программе должна быть зарезервирована область памяти. Оба массива двухмерные. Первая размерность массива EB8U равна числу япор балки, т.е. 4, а вторая – 5. Первая размерность массива EB8P равна размерности массива COORD, т.е. общему числу сечений балки, в которых падают элементы ее конца. Вторая размерность массива равна 4. Описание массивов в написанной программе имеет вид:

REAL*4 EB8U (4,5), EB8P (11,4)

В написанной программе также должны быть зарезервированы области памяти для размещения рабочих массивов WCR и LP8E. Первая размерность массива WCR равна числу граней балки, т.е. 3, а вторая – 2. Для массива LP8E размерность равна первая – числу ненеизвестных опорных моментов, т.е. 3, вто-

раз - това 3. Поэтому спасение насквозь должно быть спасением

PSM-4, WCR(3,2), LPSE(3,2)

4.2. Задание на проектирование, разработку и выполнение программного обеспечения

На рис. 4.2 приведен текст задания для решения рассматриваемой задачи на EC 386. Каждая строка текста воспроизводится в пять строках расположения строки от него. Задания включают три части: описание, схематическое изображение и начальные

Первые две строки введенных соображений состоят из трех числовых выражений - 108, «БХС» и оператора

• [View more](#) • [View less](#) • [View all](#)

2011年1月1日-2011年12月31日

1990-1991 - 1991-1992

◎ 中国古典文学名著全集·元曲卷

"БИНАР" - киберфизична програмиста

CLASS = B — параметр, указыва

Будет выполнено задание.
Оператор EXEC содержит информацию:
FORTCLG — имя используемой в задании калькуляторизированной процедуры, позволяющей проводить комплексные программы или ее части с языка FORTRAN, разрабатываемые в различных:

PROM,PORT=SOURCE — параметр, указывающий список заданных портов компьютера. Опция SOURCE означает, что список заданных портов содержит также именем, определенное:

PARM.LIST = LIST — параметр, содержащий список опций редактора списка. Опция LIST указывает, что на экран выводится текущий список опций редактора списка.

TIME.GB-1 — измеритель, задающий допустимые

В третий строке экрана находится 30-символный адрес FORT.80\$10, отсылающий к концу набора данных, в котором содержится исходный текст транслируемой программы. Второй параметр в указывает на то, что исходный текст программы взят из конца памяти сразу же после этого оператора.

卷之三

номер строки	название строки	название поля	название поля	название поля
1	1	-0.12345678	-0.12345678	-0.12345678
2	2	-0.12345678	-0.12345678	-0.12345678
3	3	-0.12345678	-0.12345678	-0.12345678
4	4	-0.12345678	-0.12345678	-0.12345678

номер строки	название строки	название поля	название поля	название поля
5	5	-0.12345678	-0.12345678	-0.12345678
6	6	-0.12345678	-0.12345678	-0.12345678
7	7	-0.12345678	-0.12345678	-0.12345678
8	8	-0.12345678	-0.12345678	-0.12345678
9	9	-0.12345678	-0.12345678	-0.12345678
10	10	-0.12345678	-0.12345678	-0.12345678
11				

Рис. 4.3. Примеры листинга, содержащего выражение

В строках садима с №№№№№45 по №№№№№228 располагается текст основной программы, которая содержит обращение к программе СМСВ. В первых трех строках программы с помощью операторов INTEGER и REAL записываются тип переменных и массивов, имеющие фактическими параметрами задачи; указываются размерности массивов и в качестве начальных значений задаются исходные данные задачи согласно п.4.1. Базовыми являются для элементов динамических массивов ссылки по отсчетам.

Далее следует оператор CALL, имеющий в себе список фактических параметров. Оператор вызывает программу СМСВ и передает ей управление. После окончания работы программы СМСВ возврат в основную программу результаты считаются параметром в массивы ЕВВУ и ЕВСП .

В строке №№№№№128 происходит печать массивов ЕВВУ и ЕВСП оператором PRINT, который поддается на оператор FORMAT в четвертой 1. Квадраты, расчленяющиеся в виде таблиц (рис. 4.3). Номер строки массива ЕВВУ соответствует номеру отсчета балла. В первом столбце массива содержатся проходы спор, во втором - углы поворота поверенных систем в месте расположения спор, в третьем - опорные моменты, в четвертом и пятом - реакции взаимодействия спор с пролетами, расположенные слова в строке от них. Номер строки массива ЕВСП раздел номеру системы, в котором начинаясь элементы когиба балки. Первые три отсечения находятся в первом проходе балки, координаты их - в элементах массива СООРД с первого по третий. Отсечения с четвертого по восмое - витой пролет, а седьмого с девятого по одиннадцатое - в третий. Координаты их размещены в соответствующих элементах массива СООРД. В первом столбце массива ЕВСП находится проходы балки, во втором - углы поворота поверенных систем, в третьем - нагебющие моменты, в четвертом - параллельные силы.

Завершается текст программы двумя операторами: оператором STOP, завершающим выполнительный процесс, и оператором END, указывающим компилятору на окончание операторов программы.

Оператор языка управления задачами /з/, который следует непосредственно за текстом программы, указывает на конец набора данных для компилятора.

Оператор языка управления задачами с номерами **#EBSU248** и **#EBSP250** относится к языку редактирования и представляет собой добавленные ВД-операторы языка LKED. Оператор ВД с номером **LKED.ADB** описывает базисный набор данных КР.3М, в котором хранятся разделы **ЗАВДСМСВ**, содержащий обобщенные модули программы СМСВ, **ББР** и **ДЕВ**. Оператор ВД с номером **LKED.SYSTEM**, в теле которого находятся позиционный параметр *****, указывает на входной набор данных редактора схемой, размещенный во входном потоке после оператора.

Входной набор данных включает в себя всего один управляемый оператор редактора, имеющей вид:

INCLUDE ADB (ЗАВДСМСВ)

Оператор предоставляет редактору схемой раздела **ЗАВДСМСВ** библиотеки КР.3М в качестве набора данных дополнительного модуля.

Оператор языка управления задачами **/n** указывает на конец входного набора данных редактора схемой, а оператор **B** завершает задачу.

4.3. Обработка выходной информации.

Построение эпюр перерезывающих сил и изгибающих моментов, упругой линии балки

Фрагмент листинга заданного задания, которое отписано в п.4.2, приведен на рис.4.3. Фрагмент относится к языку выражения и содержит результаты решения задачи в виде выражений на языке матрицы EBSU и EBSP. Результаты расчетов изгибающих моментов следующие для прогиба в проходах отпор - $(q_0 l_1^2)/(E_0 I_0)$, для угла поворота - $(q_0 l_1^3)/(E_0 I_0)$, для отпоров и изгибающих моментов - $q_0 l_1^2$, для реакций и перерезывающих сил - $q_0 l_1$.

Эпюры перерезывающих сил и изгибающих моментов, упругая линия балки, построенные по содержащимся в языке EBSP элементам языка схемы, приведены на рис.4.1. При построении эпюр и упругой линии схема учитывает характер действующей на балку нагрузки, образуя способ занесения ее, находящейся в языке, в языке сопротивления сил и моментов.

В первом проезде балки в сечении фикс., приложена сила P_1 , а во втором в сечении 20 - P_2 - сила P_3 . Поэтому в упомянутых сечениях вторы перерезывающие силы должны скомпьютерно изменяться на величину силы P_1 в первом проезде и на величину силы P_2 - во втором. Элементы массива EBSP(2,4) и EBSP(4,4), приведенные в листинге, представляют собой значения перерезывающей силы, записанный строке от рассмотриваемой сечений, в разделах LBBBQ_{1,1} и 0.368Q_{1,1}, соответственно. Вычитая из них силы P_1 и P_2 , получаем значения перерезывающей силы схемы от сечений, т.е. 0.01Q_{1,1} и 0.631Q_{1,1}.

Несбалансированный момент торца в первом проезде в сечении 20 - $l_{1,1}$. Значение неизвестного момента снято от сечения, равное 0.0999Q_{1,1}, получено из элемента массива EBSP(3,3), а значение его балки следует вычислить, учитывая величину и направление действия сопротивления момента тп Гак.рас.4.1).

При построении эпюр и упругой линии балки не был использован массив EBSP. Информация, содержащаяся в нем, повторяется в массиве EBSP. Поэтому можно отказаться от вычисления элементов матриц в контурных сечениях первого проезда и嗣принять знание, разработанное для массива EBSP, что, однако, несколько усложняет обработку выходной информации.

5. ЗАКЛЮЧЕНИЕ

Описанная выше программа расчета перерезанной балки по методу пяти моментов позволяет перейти от одномерных расчетов структур и механизмов к анализу изменения так называемых динамических дамок на напряженно-деформированном состоянии, находясь связанного с многостадийным выполнением всех операций, присущих методу пяти моментов. К сожалению, нельзя сказать, что программа СМСВ полностью избавляет расчетчика от ручной работы. Выходные информации, выдаваемые программой, требуют дополнительных обработок и представления в графической форме для наглядности, имеющей достаточно сложный характер. Структурно сформированы массивы РИМЕО и СООРД, задающие схемы, в которых складуются результаты обработки элементы линейки балки оптималь-

ним образом. Поэтому якоря ЕВСР , передаю с полемой, будут содержать и совершенно бесполезную информацию.

Для полной автоматизации расчетов необходимо расширять программой, позволяющей находить выходные информации в графической форме на дисплее либо гравиостратиграфе. Для работы такой программы нужны информир., содержащиеся в якорях ЕВСР , и в качестве внутренней подпрограммы программа МВ отдающие элементы якоря одновременно при известных начальных параметрах (см. п.3.2).

Л И Т Е Р А Т У Р А

1. Программирование, отладка и решение задач на ЭВМ - единой серии. Вып. Фортран: Учебн. пособие для вузов/ Под ред. И.А.Кудашова. - Л.: Энергоиздат, 1988.
2. Справочник по структурному исчислению кораблей. В 3-х тт./Под ред. Ю.И.Палки. - Л.: Судостроение, 1982, т.1.
3. Строительство морских кораблей и теория упругости: Учебн. для вузов. В 2-х тт. - Л.: Судостроение, 1987, т.2, 416 с.

С о д е р ж а н и е

1. Введение вспомогат.	3
2. Расчет параллельных балок методом пяти моментов ...	3
2.1. Основные зависимости метода пяти моментов ...	3
2.2. Порядок выполнения расчета ...	3
3. Программа расчета параллельной балки по методу пяти моментов ...	10
3.1. Назначение программы ...	10
3.2. Способ обращения к программе. Использование гор- программы ...	11
3.3. Описание входных данных ...	11
3.4. Описание выходных данных ...	15
3.5. Описание рабочих областей ...	16
4. Пример расчета ...	16
4.1. Фактические параметры задания. Формирование вход- ных данных ...	19
4.2. Задание на компоновку, разделение и выполне- ние программы, организующий решение задачи ...	26
4.3. Обработка выходной информации. Построение втор параллельных симметрических моментов, упру- гой линии балки ...	30
5. Заключение ...	31
Литература ...	32